

京都大学原子炉実験所 正員 筒井 天草  
正員 ○西牧 研壯

放射性陽イオニが地下帶水層を移動する時の移動速度を研究するためには、放射性陽イオニが帶水層を構成する土砂（交換吸着体）へどのように吸着するかを調べる必要がある。地下水中には種々の陽イオニが含まれていますが、主として  $\text{Na}^+$ ,  $\text{Ca}^+$  および  $\text{Mg}^+$  であり、帶水層を構成する土砂はこれらのイオニと交換平衡に達しており、土砂の有する交換吸着の度合はこれらのイオニで飽和されていると推測できます。一方、地下水中のこれらの陽イオニの量に比べて、地下水中へ流入する放射性陽イオニの量はきわめて微量であるので、放射性陽イオニの土砂への交換吸着はこれら  $\text{Na}^+$ ,  $\text{Ca}^+$ ,  $\text{Mg}^+$  の量によって支配されると考えられる。そこで、1 倍の  $\text{Na}^+$  よりも 2 倍の  $\text{Ca}^+$ ,  $\text{Mg}^+$  の方が交換度合が高く、同じ 2 倍では  $\text{Mg}^+$  よりも  $\text{Ca}^+$  の方が交換度合が高い。そこで、本報では他のイオニはすべて  $\text{Ca}^+$  に置き換えて、交換吸着体の交換吸着の度合はすべて  $\text{Ca}^+$  で飽和しておき、地下水中には陽イオニとして  $\text{Ca}^+$  のみが存在し、他のイオニは存在しないかが、微量の放射性陽イオニが加わり、交換吸着体に交換吸着されるとどうかのように单纯化して取り扱うこととした。

### 1. $\text{Ca}$ 饱和交換吸着体の作成

表-1  $\text{Ca}$  饱和交換吸着体の洗浄試験

交換吸着体としてはアンバーライト IR-120B

(44 meq/g), クリーンサンド (0.51 meq/g), KUR 砂 (0.031 meq/g) を用い、 $\text{Ca}^+$  として硝酸カルシウムを用いた。200 ml のビーカーに各交換吸着体を 3 g づつ取り、それらに 20,000 ppm (as  $\text{Ca}^+$ ) の  $\text{Ca}$  濃度を 150 ml づつ添加した。時々攪拌しながら約 2 時間放置し、その後、1 度溶液をビーカーから流し出し、再び 20,000 ppm  $\text{Ca}$  濃度 150 ml をビーカーに添加して、時々攪拌しながら 24 時間放置した。24 時間後の  $\text{Ca}$  濃度を流し出し、ついで約 150 ml の純水で洗浄し、洗浄水を流し出すという操作を 3 度繰り返した。この結果交換吸着体の粒子間の空隙や水中の  $\text{Ca}^+$  は洗浄されないと考えられるが、吸着体内部の間やされ中に残された  $\text{Ca}^+$  が存在すると考えられるので、再び純水を添加し、時々攪拌しながら 24 時間放置した。24 時間後の洗浄水中的  $\text{Ca}^+$  濃度を測定し、再び洗浄水を入れ替えて同じ操作を繰り返し、 $\text{Ca}^+$  を測定した。測定結果を表-1 に示したが、これらの操作によって間やされ水中に存在した  $\text{Ca}^+$  が洗い出され、交換吸着体に吸着した  $\text{Ca}^+$  が溶けだしたものではないことが表-1 より読み取れる。最終の回の洗浄水を流し出し、一部残留した洗浄水を減圧乾燥してカルシウム飽和交換吸着体の作成を終了した。なお  $\text{Ca}$  饱和交換吸着体に種々の濃度の  $\text{Ca}$  溶液を添加して 24 時間経過しても、溶液中の  $\text{Ca}^+$  濃度は変化しないことも確認した。

### 2. 吸着型式の検討

溶液中の  $\text{Ca}^+$  濃度が一定の時に放射性陽イオニ A が  $\text{Ca}$  饱和交換吸着体に吸着する型式は一般にランダミニア吸着の吸着イオニの希薄は時、すなわち  $\theta_A = K_{dA} \cdot C_A$  (1) に最も一致するといわれている。ただし、 $\theta_A$  は放射性陽イオニ A の吸着量、 $K_{dA}$  は同じく分配係数、 $C_A$  は同じく溶液中濃度である。そこで放射性陽イオニとして、 $^{23}\text{Na}$ ,  $^{37}\text{Cs}$ ,  $^{54}\text{Mn}$ ,  $^{60}\text{Co}$ ,  $^{65}\text{Zn}$ ,  $^{88}\text{Sr}$ ,  $^{133}\text{Ba}$  を用いて吸着実験を行った。 $\text{Ca}^+$  濃度を 20

PPM ( $\text{as Ca}^{+}$ ) とし、前述 3 種の Ca 飽和交換吸着体 3 種を用い、7 種の放射性陽イオンの溶液中濃度を 2 极程度 ( $10^1 \mu\text{Ci/ml} \sim 10^3 \mu\text{Ci/ml}$ ) 変化させて、ビーカー内下吸着実験を行なった結果、実験に用いた放射性陽イオンの吸着型式は、 $\text{Ca}^{+}$  濃度が一定の時に  $\propto$ 、前述 (1) 式で示されることは知られた。

### 3. $\text{Ca}^{+}$ 濃度が変化する時の分配係数

$\text{Ca}^{+}$  濃度が、5, 15, 50, 150, 500, 2,000 ppm ( $\text{as Ca}^{+}$ ) 程度の 6 種の溶液を硝酸カルシウムと純水を用いて作成した。これらの溶液の中へ 7 種の放射性陽イオンをそれぞれ  $10^{-2} \mu\text{Ci/ml}$  程度の濃度に定めよう別々に添加して、計 42 種の原水を作成した。つづいて 3 種の交換吸着体を 200 ml のビーカーに 3 種づつ取り、前述のカルシウム代によつて Ca 飽和交換吸着体を作成した。ここへ前述の原水を添加し、時々攪拌しながら 24 時間その状態を保つた。原水の放射能濃度および  $\text{Ca}^{+}$  濃度は NaI ラジオチラムカウンタおよび EDTA 法によつて測定した。また添加原水量は重量を測定して求めた。24 時間経過後のビーカー内の液をろ紙でろ過し、ろ液の放射能濃度および  $\text{Ca}^{+}$  濃度を測定した。同時にろ液の pH の測定も行なつたが、すべてのろ液の pH は 6.0 ~ 7.0 の範囲内であった。なお、24 時間経過中の室温は 20°C ~ 25°C が保たれた。また同一試験条件で 2 組の実験を行なつた。実験結果から交換吸着体へ吸着された放射性陽イオンの吸着量を求め、この値から (1) 式の分配係数  $K_{dA}$  を計算した。

各放射性陽イオンの分配係数  $K_{dA}$  は溶液中の  $\text{Ca}^{+}$  濃度に大きく影響される事がわかつたので、横軸に  $\text{Ca}^{+}$  濃度、左下軸に分配係数値をそれぞれ対数目盛りとり、分配係数値と  $\text{Ca}^{+}$  濃度との関係をグラフより求めることとした。グラフの一部を図-1 に示した。図-1 はグリーンサンドに対する実験結果の一部である。実験結果をグラフより解析してみると、

図-1 でもわかるように、すべての交換吸着体に関して、各放射性陽イオンの分配係数値と  $\text{Ca}^{+}$  濃度との関係は直線的であることがわかつた。すばれ  $\text{Ca}^{+}$  濃度を  $\text{Ca}_{\text{as}}$  とすると次のようにならう。

$$K_{dA} = m \cdot (\text{Ca}_{\text{as}})^{-n} \quad (2)$$

ただし、 $m, n$  は放射性陽イオンおよび交換吸着体の種類によって定まる  $\text{Ca}^{+}$  に特有の定数である。なお (2) 式は実験式ではあるが、ランタニウムの吸着既から、放射性陽イオンのように微量なイオンの吸着現象が (2) 式のようは型式で示されることは推測されたが、ここでは省略した。

最後に、 $\text{Ca}^{+}$  濃度を工業的に実用度の高い ppm で表示し、分配係数値を ml/g で表示した時の  $m, n$  値を各放射性陽イオンごとに、各交換吸着体についてグラフより大きめに載めて表-2 に示した。表-2 に示された  $m, n$  値は主として、放射性陽イオンのみかけの電荷の数、水和イオン半径および交換吸着体の種類等によって決定されますが、これらの考察に関する次回に報告する予定である。

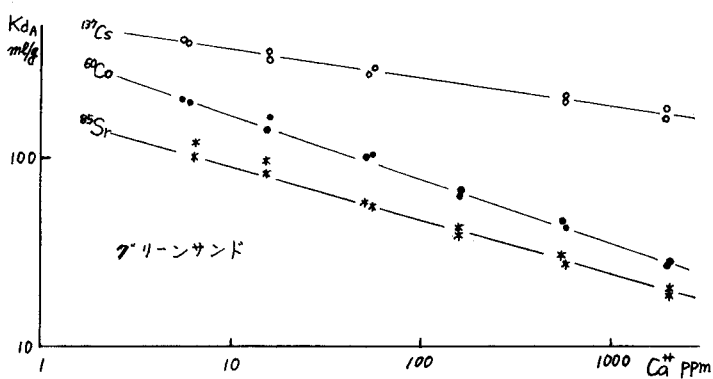


図-1 放射性陽イオンの分配係数と  $\text{Ca}^{+}$  濃度の関係

放射性陽イオン	アンバーライト IR-120B		グリーンサンド		KUR砂	
	$m$ 値	$n$ 値	$m$ 值	$n$ 値	$m$ 値	$n$ 値
<sup>22</sup> Na	120	0.98	38	0.25	40	0.17
<sup>137</sup> Cs	1200	0.78	410	0.15	3000	0.26
<sup>54</sup> Mn	2300	0.64	200	0.32	200	0.53
<sup>60</sup> Co	2800	0.65	410	0.38	640	0.67
<sup>65</sup> Zn	1500	0.58	600	0.40	700	0.57
<sup>85</sup> Sr	800	0.39	170	0.31	180	0.43
<sup>133</sup> Ba	1200	0.39	350	0.29	780	0.48

表-2 放射性陽イオンの  $m, n$  値